

مطالعه و مدل سازی فرآیند جذب رطوبت دانه های جو

معین کمالی¹، سید جلیل رضوی²، مرتضی صادقی²

1 - دانشجوی سابق کارشناسی ارشد مکانیک ماشین های کشاورزی، دانشکده کشاورزی، دانشگاه صنعتی اصفهان

2 - استاد بار، گروه ماشینهای کشاورزی، دانشکده کشاورزی، دانشگاه صنعتی اصفهان
84156-83111

jrazavi@cc.iut.ac.ir

چکیده

خیساندن دانه ها در فرآیند پوسته گیری و پخت آنها به منظور نرم شدن پوسته و هسته آنها و جذب رطوبت معمول می بلشد. مقدار آب جذب شده توسط دانه های مختلف در مدت زمان غوطه وری در آب متفاوت است. هم چنین دمای آب در میزان رطوبت جذب شده تأثیر دارد. در این تحقیق، فرآیند جذب رطوبت سه رقم جو (ریحان 03، فجر و MB862) در خلال غوطه وری آنها در آب در سه سطح دمای 10، 20 و 45 سانتی گراد و در سه تکرار انجام گردید. منحنی های تغییرات محتوای رطوبتی بر حسب زمان، نسبت رطوبت بر حسب زمان و محتوای رطوبتی برای هر تیمار مورد مطالعه قرار گرفت. برای مدل سازی داده های جذب رطوبت از 10 مدل تجربی استفاده شد و بر اساس بالاترین ضریب تبیین و کمترین مقدار ریشه میانگین مربعات خطای مدل ورما با ضریب تبیین بیشتر از 0/996 و ریشه میانگین مربعات خطای کمتر از 0/0107 به عنوان مناسب ترین مدل برای توصیف فرآیند جذب رطوبت دانه های جو انتخاب شد.

کلمات کلیدی: جو، جذب رطوبت، ضریب انتشار، مدل سازی تجربی.

مقدمه

دانه جو یکی از غلات مهم در سراسر جهان است که به دلیل داشتن نشاسته قابل هضم بالا به عنوان یک منبع اصلی انرژی در جیره غذایی دام به کار می رود. نشاسته اصلی ترین قسمت دانه جو است که با میزان پروتئین آن نسبت عکس دارد. کل ماده غذایی قابل هضم دانه جو 80 تا 84 درصد ماده خشک آن است. یکی از روش های ساده و ارزان فرآوری که در اکثر گاوداری های کشورمان مورد استفاده قرار می گیرد آسیاب کردن دانه جو است [Hunt, 1996]. این روش به دلایلی مطلوب نمی باشد. اولاً آسیاب کردن دانه جو باعث هدر رفتن مقداری از مواد غذایی به صورت گرد و غبار می شود، ثانیاً آسیاب کردن باعث می شود تا قسمتی از جو بیش از حد نیاز خرد شود و به صورت آرد درآید. این ذرات ریز در شکمبه زودتر از ذرات درشت تخمیر می شوند و باعث افزایش اسیدهای چرب فرار در شکمبه می شوند که این امر کاهش PH شکمبه را به همراه دارد و به دنبال آن اختلالات متابولیکی نظریر اسیدوز را موجب می گردد. همچنین به کاهش هضم فیبرها می انجامد. به همین دلایل از روش فرآوری جو غلتک بخاری استفاده می گردد که بدلیل گران بودن سیستم بخاردهی (دیگ بخار و ستون بخار)، بدنبال روش جایگزینی مانند خیساندن به همراه حرارت دهنده می باشد [Yang et al., 2000]. خیساندن دانه ها در فرآیند پوسته گیری و پخت آنها به منظور نرم شدن پوسته و هسته آنها و جذب رطوبت معمول می باشد. مقدار آب جذب شده توسط دانه

های مختلف در مدت زمان غوطه وری در آب متفاوت است. هم چنین دمای آب در میزان رطوبت جذب شده تأثیر دارد. یکی از روش‌های پیش‌بینی فرآیندهای جذب و دفع رطوبت، مدل سازی این فرایندها می‌باشد. یکی از روش‌های آسان و مرسوم مدل‌سازی استفاده از مدل‌های تجربی است که می‌توانند در خصوص پدیده‌های پیچیده به افزایش درک یا تولید دانش جدید کمک کنند. در این نوع مدل‌سازی از جزء به کل پی برده می‌شود و ماهیت آن استخراج اطلاعات بسیار سودمند از داده‌های حاصل از اندازه‌گیری و بدون داشتن دانش پیشین از فرآیند می‌باشد. داده‌ها در این نوع مدل‌سازی تنها منبع اطلاعات در دسترس است [Tijskens et al., 2001]. علی‌رغم این واقعیت که این مدل‌ها، توصیف فیزیکی پدیده‌ها را ارای نمی‌کنند، ولی برای اهداف طراحی در موارد پیچیده مفیدند.

مدل هندرسون و پابیس برای مدل‌سازی فرآیند خشک‌کردن ذرت، گندم و برنج استفاده شده است. در این مدل فرض بر این است که کل فرآیند خشک‌کردن، فقط در مرحله سرعت نزولی خشک‌کردن رخ می‌دهد. مدل دوجمله‌ای¹ برای توصیف روند جذب رطوبت سویا و لوبيا سفید استفاده شده است [اصیاد، 1384]. مدل پیج اصلاح شده² بطور گسترده در تعیین خصوصیات جذب رطوبت و خشک‌کردن ورقه‌های سیب زمینی، دانه‌های برنج، سویا، ذرت و جو استفاده شده است.

هدف از انجام این تحقیق مدل‌سازی فرآیند جذب رطوبت سه رقم مهم جو شامل ریحان 03، فجر و MB862 طی غوطه وری آنها در آب در دماهای مختلف به منظور تعیین زمان مناسب این فرآیند برای تولید جو پرک جهت تغذیه دام می‌باشد.

مواد و روش‌ها

سه واریته جو (ریحان 03، فجر و MB-863) از مرکز جمع آوری دانه‌های مرکز تحقیقات جهاد کشاورزی استان اصفهان تهیه شد. رطوبت اولیه نمونه قبل از آزمایش بر اساس استاندارد DEC97-2 S352.2 ASAE تعیین شدند [ASAE, 1998]. به منظور حذف اثر اندازه دانه‌ها در میزان جذب آب، نمونه‌های آزمایشی از دانه‌های متوسط انتخاب شدند. آزمایش‌های مربوط به منحنی‌های جذب رطوبت دانه‌های جو با آب مقطر در دماهای 20، 45 و 10 درجه سانتی‌گراد برای هر کدام از نمونه‌ها انجام گردیدند. قبل از هر آزمایش، آب و ظروف بکار رفته در آزمایش برای چندین ساعت در دمای مورد آزمایش قرار گرفتند تا دمای آنها با محیط آزمایش یکسان گردد. در هر آزمایش نمونه‌های 10 گرمی بطور تصادفی انتخاب و با ترازوی آزمایشگاهی وزن شدند و در ظروف فومی حاوی 200 میلی‌گرم آب مقطر قرار گرفتند. پس از مدت زمان معینی دانه‌ها از ظرف بیرون آورده شدند و پس از خشک‌کردن رطوبت سطحی دانه‌ها توسط دستمال کاغذی حوله‌ای، مجدداً وزن شدند. از کرنومتر دیجیتالی برای اندازه گیری زمان غوطه وری استفاده شد. وزن نمونه‌ها طی فرآیند رطوبت دهی نیز در فاصله‌های زمانی مشخص توسط ترازوی دیجیتال (با نشان تجاری AND GF-400 ساخت کشور ژاپن) با دقیق 0/001 گیم اندازه گیری و ثبت شد و در رسم نمودارهای محتوى رطوبتی- زمان و نسبت رطوبت- زمان مورد استفاده قرار گرفت. آزمایشات برای هر نمونه در سه تکرار انجام گردید. فاصله زمانی هر مرحله به ترتیب پس از غوطه وری 5، 10، 15، 30 دقیقه و یک ساعت بود که تا آخر آزمایش در فواصل یک ساعت از یکدیگر اندازه گیری شدند.

¹Two-term

²Modified Page

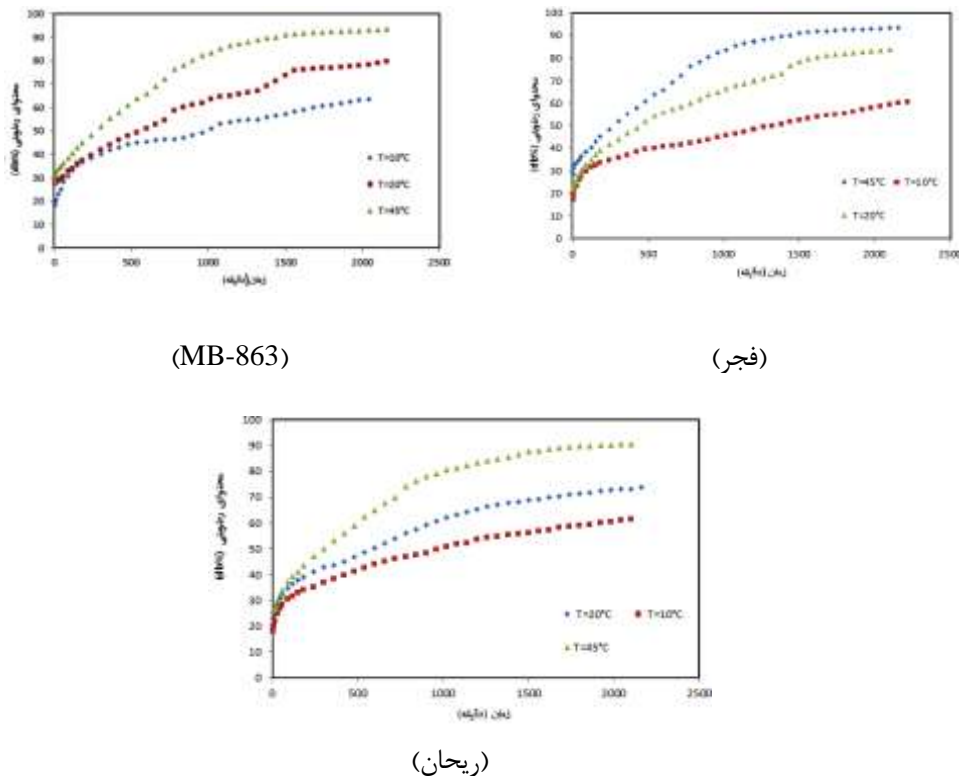
به منظور مدل سازی تجربی سینتیک جذب رطوبت از ده مدل تجربی و نیمه تجربی جذب و افت رطوبت محصولات کشاورزی استفاده شد. این مدل‌ها شامل مدل پیج، هندرسون و پابیس، لگاریتمی، دو جمله‌ای، داده‌های ای نمایی، وانگ و سینگ، دیفیوزن، هندرسون و پابیس اصلاح شده، میدیلی و ورما بودند (جدول 1). داده‌های اندازه‌گیری شده بر مدل‌های انتخابی به کمک نرمافزار متلب برآش و ضرایب هر مدل بدست آمد. انطباق بین داده‌های اندازه‌گیری شده و پیش‌بینی شده توسط مدل‌های مذبور بر مبنای مقایسه ضریب تبیین بیشتر و نیز ریشه میانگین مربعات خطای (RMSE) کمتر انجام شد [اکبری، 1385].

جدول 1- مدل‌های تجربی شناخته شده برای پیش‌بینی فرآیند جذب رطوبت لایه نازک محصولات کشاورزی

نام مدل	فرمول
نیوتون	$MR = \exp(-kt)$
پیج	$MR = \exp(-kt^n)$
هندرسون و پابیس	$MR = a \exp(-kt)$
لگاریتمی	$MR = a \exp(-kt) + c$
دو جمله‌ای	$MR = a \exp(-k_1 t) + b \exp(-k_2 t)$
دو جمله‌ای نمایی	$MR = a \exp(-kt) + (1-a) \exp(-kat)$
وانگ و سینگ	$MR = 1 + at + bt^2$
دیفیوزیون	$MR = a \exp(-kt) + (1-a) \exp(-kbt)$
هندرسون و پابیس اصلاح شده	$MR = a \exp(-k_1 t) + b \exp(-k_2 t) + c \exp(-k_3 t)$
میدیلی و همکاران	$a \exp(-kt^n) + bt$
ورما و همکاران	$a \exp(-k_1 t) + (1-a) \exp(-k_2 t)$

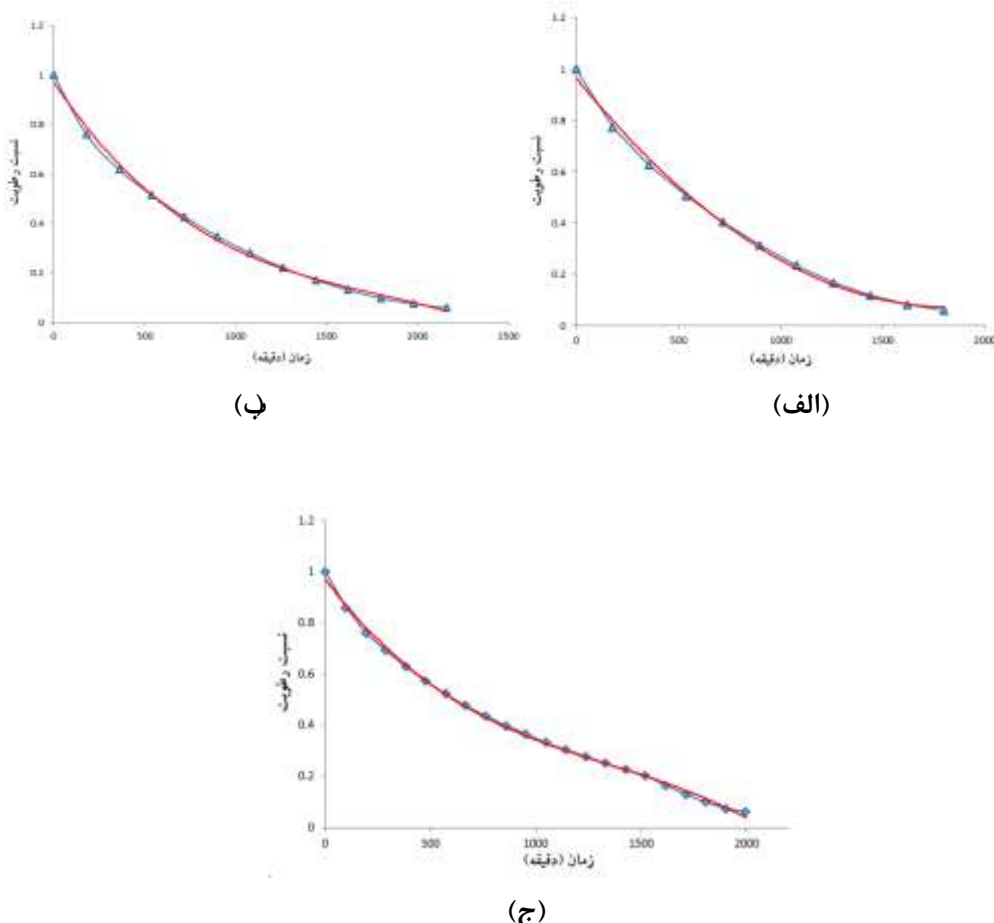
3- نتایج و بحث

محتوای رطوبتی اولیه نمونه های مورد آزمایش به ترتیب 8/89، 8/22 و 8/62 در صد برابر مبنای وزن خشک به ترتیب برای واریته های ریحان 03، فجر و MB-863 بدست آمدند که در سطح 5٪ اختلاف معنی داری نداشتند. شکل 1 افزایش محتوای رطوبتی دانه جو فجر، MB-863 و ریحان مورد آزمایش را در خلال زمان غوطه وری نشان می دهد. منحنی جذب رطوبت نشان می دهد که با افزایش دمای آب و محیط آزمایشی، شدت جذب رطوبت افزایش یافته است. نتیجه مشابه برای انواع دانه های بقولات مانند نخود، لوبيای چشم بلبلی، سویا و نخودفرنگی توسط محققین گزارش شده است [Masumi et al., 2003; Sayar et al., 2001; Sopade et al., 1990; Sopade et al., 1994].



شکل ۱- مشخصات جذب رطوبت توسط واریته های جو مورد آزمایش طی غوطه وری

نتیجه برآش روند جذب رطوبت دانه های جو واریته ریحان در سطوح دمایی 10 و 20 درجه سانتی گراد به 10 مدل تجربی نشان داده شده در جدول 1 حاکی از آن است که در تمامی مدل ها مقدار ضریب تبیین بیشتر از 90 درصد و ریشه میانگین مربعات خطای کمتر از 0/0968 می باشد. بنابراین تمامی مدل های تجربی مورد نظر فرآیند جذب رطوبت دانه های جو را به خوبی پیش بینی کرده و همخوانی خوبی با داده های آزمایشگاهی دارند. به حال، بر اساس بالاترین ضریب تبیین و کمترین مقدار ریشه میانگین مربعات خطای مدل ورما با ضریب تبیین بیشتر از 0/9987 و ریشه میانگین مربعات خطای کمتر از 0/01030 به عنوان مناسب ترین مدل برای توصیف فرآیند جذب رطوبت دانه های جو انتخاب شد. برآش مدل ورما به عنوان مناسب ترین مدل برای پیش بینی نسبت رطوبت دانه های جو به داده های آزمایشگاهی جذب رطوبت در شکل 2-الف تا ج نشان داده شده است.



شکل 2- مقادیر پیش‌بینی شده نسبت رطوبت بر حسب زمان توسط مدل ورما و نسبت رطوبت بدست آمده از داده‌های آزمایشی فرآیند جذب رطوبت دانه جو واریته ریحان در دمای‌های (الف) - 45°C (ب) - 20°C (ج) - 10°C

منابع

- اکبری، ع. 1385. مطالعه مقایسه ای خشک کردن گوجه فرنگی با روش های سنتی و خورشیدی با هم رفت طبیعی، پایان نامه کارشناسی ارشد صنایع غذایی، دانشکده کشاورزی، دانشگاه صنعتی اصفهان.
- رضوی، م. ع. و ر. اکبری. 1385. خواص بیوفیزیکی محصولات کشاورزی و مواد غذایی، انتشارات دانشگاه فردوسی مشهد.
- صیاد، م. 1384. اثر دما و سرعت هواخشک کن روی سینتیک خشک کردن ورقه های سیب به صورت لایه نازک، پایان نامه کارشناسی ارشد صنایع غذایی، دانشکده کشاورزی، دانشگاه تبریز.
- هاشمی، م. 1370. تغذیه دام و طیور و آبزیان. انتشارات فرهنگ جامع تهران. صفحه 904.
- ASAE Standard (S 352.2). 1998. Method of determining and expressing particle size of chopped forage material by screening. St. Joseph. MI: ASAE.
- Crank, J. 1975. The Mathematics of Diffusion, 2nd ed., Oxford University Press, London.
- Cunningham, S.E., W.A.M. McMinn, T.R.A. Magee, P.S. Richardson. 2008. Experimental study of rehydration kinetics of potato cylinders. *Food and Bioproducts processing*, 86: 15–24.

- Hironaka, R., K. A. Beauchmine, T. J. Lysyk. 1992. The effect of thickness of steam rolled barley on its utilization by beef cattle. *Can. J. Anim. Sci.*, 59:395-402.
- Hunt, C. W. 1996. Factors affecting the feeding quality of barley for ruminants. *Anim. Feed Sci. Tech.*, 62:37-48.
- Masumi, A. A. and L. Tabil. 2003. Water absorption in chickpea (*C. arietinum*) cultivars during soaking. *Soils & Crops 2003 meeting*, February 17-18, 2003 Saskatoon, SK. Canada.
- Sayar, S., M. Turhan. and S. Gunasekaran. 2001. Analysis of chickpea soaking by simultaneous water transfer and water-starch reaction. *Jurnal of Food science*, 50:91-98.
- Sopade, P. A. and G. A. Obekpa. 1990. Modelling water absorption in soybean, cowpea and peanuts at three temperatures using Peleg's equation. *Jurnal of Food science*, 55 (4):1084-1087.
- Sopade, P. A., E. S. Ajisegiri and G. N. Okonmah. 1994. Modelling water absorption characteristics of some Nigerian varieties of cowpea during soaking. *Tropical Science*, 34: 297-305.
- Tijskens, L., M. M. M. L. A. T. M., Hertog, and B. M., Nicolai. 2001. *Food Process Modelling*. Woodhead publishing Limited, New York.
- Turhan, M., S. Sayar, and S. Gunasekaran. 2002. Application of Peleg model to study water absorption in chickpea during soaking. *Journal of Food science*, 53:153-159.
- Yang, W. Z., K. A. Beauchemin, L. M. Roda. 2000. Effect of barley grain processing on extent of digestion and milk production of lactating cows. *J. Dairy Sci*, 83:559-568.